

東京工業大学 学生員 広沢現行
 東京工業大学 正員 吉田裕
 東京工業大学 正員 野村卓史

1. はじめに 補剛桁に軸力が生じる下路補剛アーチ橋梁の安定問題は、他の形式のアーチ橋に比べてまだ十分に解明されていないようである。本報告は、下路補剛アーチ橋の面内耐荷力性状の一端を知ることを目的として、アーチリブと補剛桁の曲げ剛性比のみを変えた3タイプを設定し、それぞれの崩壊挙動を弾性及び弾塑性の2つの条件で数値解析的に追跡したものである。

2. 解析対象と条件 文献2)及び崎元らの文献3)を参照して、解析対象と条件を下記のように設定した。全体の形状は、図-1に示すものとし、アーチリブ格点は放物線上にある。要素分割は、アーチリブ及び補剛桁を格点間3要素に、吊材を2要素に分割した計78要素である。アーチリブと補剛桁の断面形状の組合せとしては表-1に示すように、ランガーハン、ローゼハム、タイドアーチを想定して、アーチリブと補剛桁の断面2次モーメント I_g と I_a の組合せ一定の条件下、比 I_g/I_a を 10, 1, 1/10 と変化させた3タイプを設定した。なお、断面形状は箱型断面を想定し弾塑性解析の適用を容易にする為に、板厚16mmの鋼板2枚を平行に並べたものにしている。載荷は活荷重が左半分の支間に載荷された状態を考え、活死荷重比0.5として補剛桁格点に載荷した。

これら3タイプについて弾性崩壊挙動と弾塑性崩壊挙動とを解析した。弾塑性解析にあたっては、各部材を高さ方向に10層に分割し、それぞれの層で弾性か塑性かの判断を行なった。その際の応力-歪曲線は図-2のような bi-linear で近似した。

3. 解析結果及び考察 図-3及び図-5は弾性解析の結果であるが、アーチリブの曲げ剛性が大なる構造ほど耐荷力は大きくなっている。Aのランガーハンは $\delta = 325\text{ cm}$ 付近でアーチリブのみが局部的座屈を起こし、P-δ曲線が急激に寝つきており、その後全体座屈を起こして耐荷力が急減している。3タイプの座屈形状を比較すると、曲げ剛性の比 I_g/I_a により著しい特徴を示しており興味深い。

図-4、図-6及び図-7は弾塑性解析の結果であるが、耐荷力は弾性解析のそれの10分の1以下に減少している。3タイプの耐荷力性状を比べると、弾性解析の場合とは異なり、変形に伴う塑性域の進展状況により大きな差異が生じていることがわかる。すなわち、アーチリブの曲げ剛性が相対的に低い補剛アーチはアーチリブの一部で局部座屈を起こし(図-6において、ランガーハンは点Rで、ローゼハムは点Sでそれぞれ局部座屈)最終強度が決まるが、その高い補剛アーチは、補剛桁の全断面が降伏してもなお若干耐荷力を残している。

«参考文献» 1)吉田・増田・松浦「薄板で構成される立体構造の弾塑性・大変位要素解析法」論文報告集No.288, 1979.8

2)平井教「鋼橋III」技報堂 3)山尾・一の宮・崎元「下路補剛アーチ橋の面内耐荷力実験」第34回年講概要集

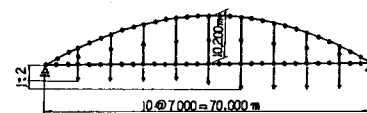


図-1 形状寸法及び載荷条件

タイプ	ランガーハン	ローゼハム	タイドアーチ
弾性解析	CASE A	CASE B	CASE C
弾塑性解析	CASE D	CASE E	CASE F
アーチリブ	850	1,500	1,830
断面	16 16	16 16	16 16
吊材	200	200	200
法	16 16	16 16	16 16
補剛桁	1,830	1,500	850
I_g/I_a	10	1	1/10
単位: mm			

表-1 解析対象の諸元

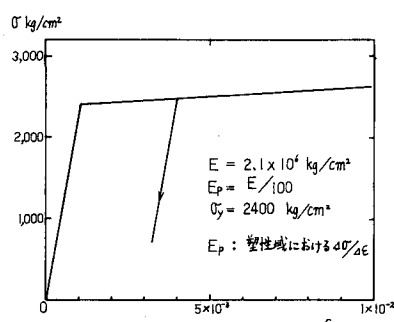


図-2 応力-歪曲線

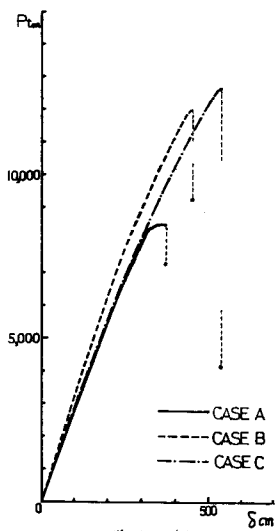


図-3 弾性解析のP-δ曲線

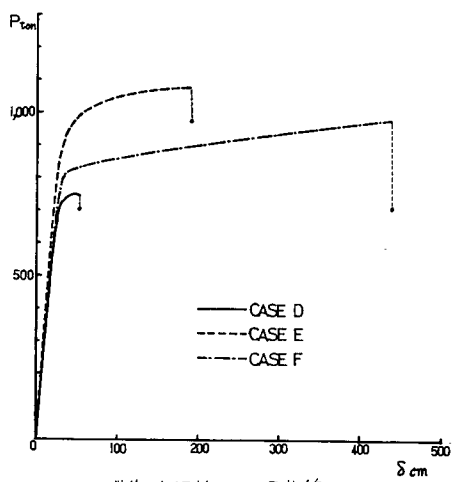


図-4 弹塑性解析のP-δ曲線

δ : Q点の鉛直変位
P: 全載荷重

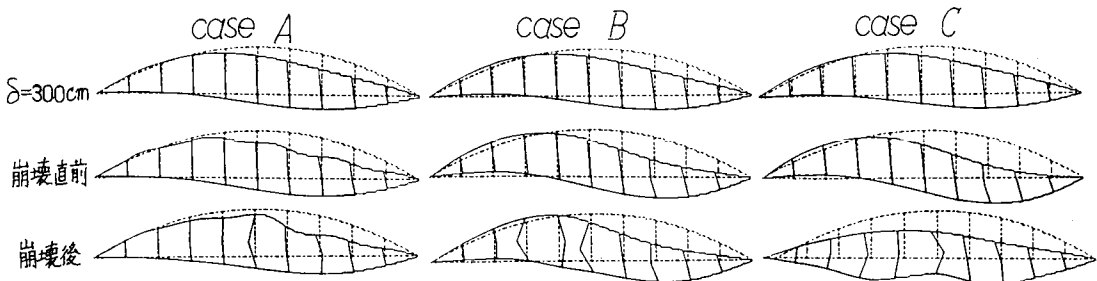


図-5 弹性解析の変形図

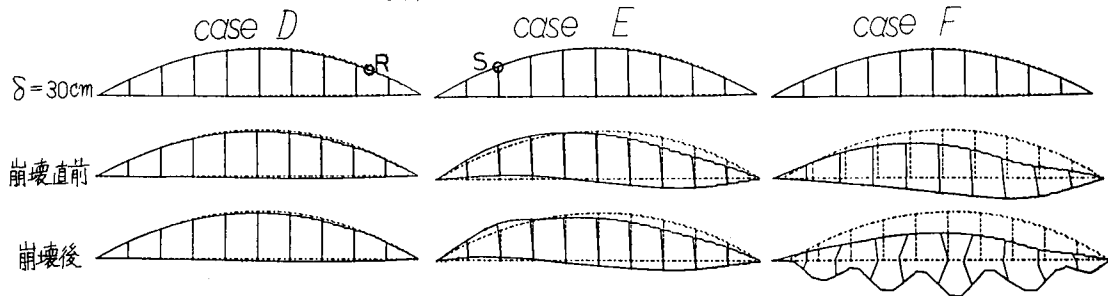


図-6 弹塑性解析の変形図

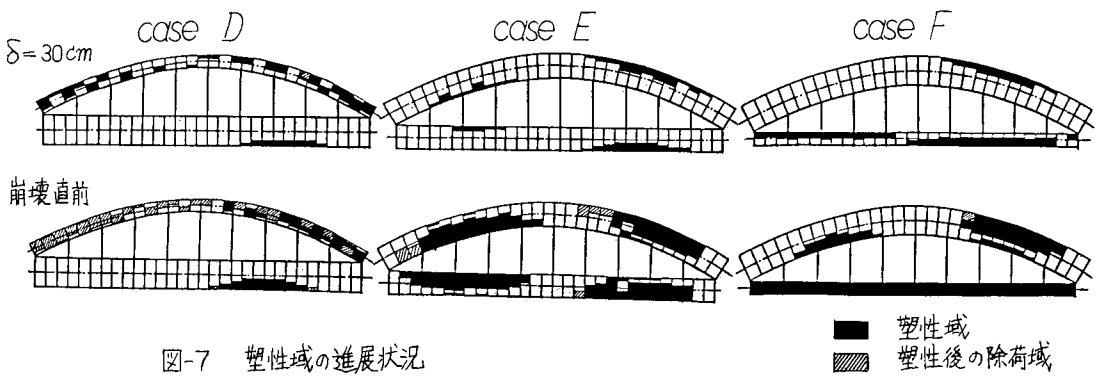


図-7 塑性域の進展状況

■ 塑性域
■ 塑性後の除荷域